

بررسی بیوانفورماتیکی نقش احتمالی RNAهای کوچک ویروسی در بیماری‌زایی ویروس SARS-CoV-2

انسیه خادم‌الحسینی^۱، امیرحسین احمدی^{۱*}، سیدجواد حسینی^۲

- (۱) گروه علوم و فناوری‌های زیستی، دانشکده‌ی علوم، دانشگاه خلیج فارس، بوشهر، ایران
 (۲) گروه بیوتکنولوژی، پژوهشکده خلیج فارس، دانشگاه خلیج فارس، بوشهر، ایران

چکیده:

از زمان ظهور کووید-۱۹ در نوامبر ۲۰۱۹ میلادی، این بیماری به بزرگترین چالش جهان تبدیل شده است، بویژه در زمانی که همچنان واکسن موثری برای مقابله با آن وجود ندارد. شناخت مکانیسم‌های بیماری‌زایی ویروس SARS-CoV-2 و شناخت درمان‌های مناسب برای آن کمک می‌کند. اخیراً نقش RNAهای کوچک ویروسی (svRNA) در بیماری‌زایی ویروس SARS-CoV مورد توجه قرار گرفته است. با توجه به مشابهت بالای ژنوم ویروس‌های SARS-CoV-2 و SARS-CoV svRNA مطالعه‌ی بیوانفورماتیکی حاضر با هدف بررسی حضور این RNAها در ژنوم SARS-CoV-2 و یافتن ژن‌های هدف آنها در انسان انجام گرفت.

از روش BLASTN برای یافتن مشابهت بین توالی سه svRNA مربوط به ویروس SARS-CoV با توالی احتمالی آن‌ها در ژنوم MERS-CoV و SARS-CoV-2 استفاده شد. برای پیش‌بینی ژن‌های هدف svRNA از نرم‌افزار آنلاین Enrichr برای وبسایت TargetScanHuman custom version 5.2 استفاده شد. همچنین از svRNA در مسیرهای KEGG استفاده گردید. شبکه برهمنکنش‌های پروتئین-پروتئین ژن‌های هدف با نرم‌افزار Cytoscape رسم و از افزونه‌های MCODE و Cytohubba به ترتیب برای تعیین ماذول‌ها و ژن‌های مرکزی شبکه استفاده شد.

از میان سه svRNA شناخته شده در ژنوم ویروس SARS-CoV، توالی svRNA-N در ژنوم SARS-CoV-2 و MERS-CoV به میزان زیادی حفاظت شده است. همچنین پیش‌بینی گردید که svRNA-N قادر به هدف قرار دادن ۱۳۰ ژن مختلفی که در مسیر پیامرسانی Rap1 بیشتر تمرکز دارند می‌باشد. همچنین ژن‌های مربوط به ماذول‌های پروتئینی بیشتر در مسیر پیامرسانی TGF- β تمرکز می‌یابند.

داده‌های حاصل از مطالعه‌ی حاضر مطالعه‌ی بیشتر بر روی نقش svRNA-N در روند بیماری‌زایی SARS-CoV-2 و MERS-CoV استفاده از مولکول آنتی‌سنس علیه آن به عنوان راهکاری در کاهش آسیب‌های ریوی کووید-۱۹ را پیشنهاد می‌دهد.
وازگان کلیدی: کووید-۱۹، RNAهای کوچک ویروسی، SARS-CoV-2، مسیر پیامرسانی Rap1

* نویسنده مسئول:

دکتر امیرحسین احمدی، گروه علوم و فناوری‌های زیستی، دانشکده‌ی علوم، دانشگاه خلیج فارس، بوشهر، ایران، پست الکترونیک:
ahahmadi@pgu.ac.ir

یوکاریوت‌ها ترانسکریپتوم میزبان را عموماً از طریق اتصال به توالی محل نشست^۷ (مکانی که نوکلئوتیدهای ۲ تا ۸ میکروRNAها به آن متصل می‌شود) در ناحیه‌ی ترجمه نشدنی^۸ (3'-UTR) در mRNAها به خوبی تنظیم می‌کنند [۷]. علاوه بر miRNAهایی که توسط ژنوم ویروس کدگذاری می‌شوند، افزایش حساسیت فناوری‌های توالی‌بایی باعث شناسایی ncRNAهای کوچک ویروسی شده است که از RNA ویروس‌ها در سیتوپلاسم تولید می‌شوند [۸]. در حالی که ویروس‌های هسته‌ای می‌توانند از مسیر مرسم تولید میکروRNAها در سلول استفاده کنند، اکثر ویروس‌هایی که ژنوم آن‌ها از RNA است از مسیرهای سیتوپلاسمی جایگزین برای بیان ncRNAهای خود استفاده می‌کنند که برای تمایز از میکروRNAها، RNAهای کوچک ویروسی^۹ (svRNA) نامگذاری می‌شوند [۹]. svRNAها هم در تنظیم چرخه‌ی زندگی ویروس و هم در بیماری‌زایی ویروس نقش ایفا می‌کنند [۱۰-۸]. svRNAها در ویروس‌های کرونا نیز می‌توانند نقش ایفا کنند. اخیراً در ویروس SARS-CoV وجود سه svRNA با نام‌های svRNA-N (واقع در ناحیه‌ی کدکننده‌ی N ویروس)، svRNA-nsp3.1 (واقع در ناحیه‌ی کدکننده‌ی nsp3.1) و svRNA-nsp3.2 (واقع در ناحیه‌ی کدکننده‌ی nsp3.2) گزارش شده است [۶]. از آنجا که ژنوم SARS-CoV-2 شباهت زیادی به ژنوم ویروس SARS-CoV دارد، هدف از مطالعه‌ی حاضر بررسی بیوانفورماتیکی حضور احتمالی این svRNAها در ژنوم ویروس SARS-CoV-2 و پیش‌بینی ژن‌های هدف و مکانیسم اثرگذاری آن‌ها در سلول میزبان است.

مواد و روش‌ها:

شناسایی توالی‌های مشابه با svRNA ویروس SARS-CoV-2 در ژنوم ویروس‌های SARS-CoV و MERS-CoV

به منظور شناسایی توالی‌های مشابه svRNA شناخته شده‌ی ویروس SARS-CoV در ژنوم ویروس‌های SARS-CoV-2 و MERS-CoV بلست نوکلئوتیدی (BLASTN) درگاه NCBI که

مقدمه:

از زمان پیدایش ویروس SARS-CoV-2، عامل بیماری کووید-۱۹^۱ در اوخر سال ۲۰۱۹، جهان با بحرانی جدید در حوزه‌ی سلامت رو به رو شده است [۱]. ویروس SARS-CoV-2 هفتمین ویروس شناسایی شده از خانواده‌ی کروناویریده^۲ است که قادر به بیماری‌زایی در انسان است. ویروس‌های کرونا منجر به ایجاد سرماخوردگی با علایمی مانند تب و گلودرد ناشی از التهاب آدنوئیدها^۳، به خصوص در فصل زمستان و اوایل بهار می‌شوند [۲]. همچنین ویروس‌های کرونا می‌توانند باعث ایجاد ذات‌الریه و یا برنشیت شوند [۳]. تا پیش از سال ۲۰۰۲ چهار نوع ویروس کرونای HCoV-229E، HCoV-NL63، HCoV-OC43 و HKU1 شناخته شده بودند که عموماً عفونت‌های تنفسی خفیف ایجاد می‌کردند [۴]. در سال ۲۰۰۲ در گوانجو^۴ در جنوب چین ویروس کرونای جدیدی با نام SARS-CoV گزارش شد که تا سال ۲۰۰۳ فعال بود و در این مدت حدود ۸۰۰۰ نفر را مبتلا کرد که ۷۷۴ نفر از آنها جان خود را از دست دادند [۵]. بعد از آن در سپتامبر ۲۰۱۲ گونه‌ی جدیدی از ویروس کرونا برای اولین بار در عربستان سعودی با نام MERS-CoV شناسایی شد که عامل سندروم حاد تنفسی خاورمیانه بود. این ویروس حدود ۲۰۰۰ نفر را مبتلا کرد که ۸۶۶ نفر از آنها جان خود را از دست دادند [۵]. در حال حاضر که جهان با چالش کووید-۱۹ رو به روست، تلاش برای شناخت بیشتر مکانیسم‌های بیماری‌زایی ویروس-2 به SARS-CoV-2 به منظور یافتن راههای مقابله با آن از اهمیت بهسزایی برخوردار است.

یکی از ابزارهایی که برخی ویروس‌ها برای تاثیر گذاشتن بر میزبان خود به کار می‌گیرند، RNAهای کوچک غیرکدکننده^۵ (ncRNA) [۶,۷]. امروزه، مشخص شده است که ویروس‌هایی با ژنوم DNA و همچنین ویروس‌هایی با ژنوم RNA، مانند رتروویروس‌ها که در هسته وارد می‌شوند، ncRNAهایی را به شکل میکروRNAها^۶ کدگذاری می‌کنند که در اکثر

¹ COVID-19

² Coronaviridae

³ Adenoid inflammation

⁴ Guangzhou

⁵ Non-coding RNAs

⁶ miRNAs

رسم شود. افزونه‌ی MCODE برای شناسایی مازول‌ها^۷ (کمپلکس‌های متشكل از چند پروتئین) در شبکه PPI با node k -core=2, degree cutoff=2, maximum depth=100 و score cutoff=0.2 استفاده شد [۱۳]. همچنین ژن‌های مرکزی در شبکه PPI با استفاده از افزونه‌ی CytoHubba و بر اساس درجه^۸ شناسایی شدند [۱۴].

یافته‌ها:

توالی svRNA-N در ژنوم SARS-CoV-2 و MERS-CoV به میزان زیادی حفاظت‌شده است. نتایج BLASTN نشان داد که در ویروس SARS-CoV-2 توالی مشابه با svRNA-nsp3.1 در ۱۳ نوکلئوتید با آن شباهت دارد (شکل ۱) که این رقم در نوکلئوتید ۷ نوکلئوتید بود (شکل ۲). با این حال نوکلئوتیدهای ۲ تا ۸ در این ویروس‌ها کاملاً حفاظت شده نبودند (شکل ۱ و شکل ۲). در مورد svRNA-nsp3.2 شانزده نوکلئوتید با آن شباهت داشت (شکل ۱)، که این عدد در ویروس MERS-CoV نوکلئوتید بود. با این حال نوکلئوتیدهای ۲ تا ۸ این نوکلئوتیدها نیز که به seed sequence متصل می‌شوند بین این ویروس‌ها کاملاً حفاظت‌شده نبودند. نتایج BLASTN مربوط به svRNA-N بسیار جالب بود، به طوری که توالی این svRNA تنها در ۳ و ۷ نوکلئوتید به ترتیب در ویروس SARS-CoV-2 و MERS-CoV تفاوت داشت. با این حال توالی نوکلئوتیدهای ۲ تا ۸ در آن‌ها در هر سه ویروس کاملاً حفاظت شده بود (شکل ۱ و شکل ۲).

svRNA-N احتمالاً قادر به هدف قرار دادن ۱۳۰ ژن از طریق ناحیه‌ی ترجمه نشدنی^۹ است پیش‌بینی ژن‌های هدف با فرض اتصال نوکلئوتیدهای ۲ تا ۸ توالی svRNA-N به توالی محل نشست نشان داد که ۱۳۰ ژن مختلف از طریق این مکانیسم می‌توانند هدف svRNA-N واقع شوند. نام کامل ژن‌ها در جدول ۱ آرائه شده است.

برای توالی‌های بسیار مشابه بهینه شده بود با شرایط زیر استفاده شد: حدآستانه‌ی مورد انتظار^{۱۰}: ۱۰، اندازه‌ی کلمه^{۱۱}: ۲۸، حدکثر انطباق در دامنه‌ی توالی مورد جستجو^{۱۲}: صفر، امتیاز نسبت انطباق/عدم انطباق^{۱۳}: ۰/۲ و فیلتر: نواحی با پیچیدگی کم. توالی هر یک از svRNA‌ها در مقابل سی ویروس توالی‌یابی شده در نقاط مختلف دنیا از هریک از ویروس‌های SARS-CoV-2 و MERS-CoV مورد قرار گرفت.

پیش‌بینی ژن‌های هدف svRNA

با توجه به اینکه svRNA ها همچون miRNA‌های سلول‌های یوکاریوتی قادرند با هدف قرار دادن ناحیه‌ی ترجمه نشدنی^{۱۴} ژن‌ها، بیان آن‌ها را تحت تاثیر قرار دهنده، برای پیش‌بینی ژن‌های هدف svRNA در سلول میزبان، نوکلئوتید ۲ تا ۸ توالی svRNA به عنوان seed sequence در نظر گرفته شد و ژن‌های هدف svRNA با استفاده از ابزار آنلайн TargetScanHuman custom version 5.2 پیش‌بینی شدند [۱۱].

تجزیه و تحلیل آناتومسیرهای زیستی ژن‌های هدف svRNA

تجزیه و تحلیل بر روی مسیرهای سلولی‌ای که ژن‌های هدف پیش‌بینی شده بیشتر در آن غنی می‌شوند^{۱۵}، با استفاده از ابزار Enrichr به عنوان سور اینترنتی جامعی که دانش زیستی را برای کشف یافته‌های بیشتر جمع‌آوری می‌کند، انجام شد [۱۲].

تجزیه و تحلیل شبکه‌ی برهمکنش‌های پروتئین-پروتئین svRNA

مازول‌ها و شناسایی ژن‌های مرکزی برای درک برهمکنش بین پروتئین‌هایی که ژن‌های آن‌ها هدف svRNA هستند شبکه‌ی PPI با استفاده از پایگاه داده‌ی STRING (<http://string-db.org/>) شد. برهمکنش‌هایی با سطح اطمینان امتیاز ترکیبی بیش از ۰/۴ وارد نرم‌افزار Cytoscape شد تا شبکه PPI

⁷ Modules
⁸ Degree

^۱ Expected Threshold

^۲ Word Size

^۳ Max matches in a query range

^۴ Match/Mismatch Scores

^۵ Pathway enrichment analysis

^۶ Protein-Protein interaction

جدول ۱ - فهرست رن‌های مدف پیشینی شده برای استفاده از svRNA-N

نام کامل زن	نام کامل زن	نام کامل زن	نام کامل زن
DIP2B	DIP2 disco-interacting protein 2 homolog B (<i>Drosophila</i>)	MPEG1	macrophage expressed gene 1
FABP3	fatty acid binding protein 3, muscle and heart (mammary-derived growth inhibitor)	NUFIP2	nuclear fragile X mental retardation protein interacting protein 2
KLF13	Kruppel-like factor 13	OPCML	opioid binding protein/cell adhesion molecule-like
ACVR2A	activin A receptor, type IIA	PDCD6IP	programmed cell death 6 interacting protein
ACVR2B	activin A receptor, type IIB	PLEKHB2	pleckstrin homology domain containing, family B (evectins) member 2
AJAP1	adherens junctions associated protein 1	POLDIP2	polymerase (DNA-directed) delta interacting protein 2
BASP1	brain abundant, membrane attached signal protein 1	POM121C	POM121 membrane glycoprotein C
BRD4	bromodomain containing 4	PPARGC1A	peroxisome proliferator-activated receptor gamma, coactivator 1 alpha
C12orf23	chromosome 12 open reading frame 23	RAB35	RAB35, member RAS oncogene family
CACNB4	calcium channel, voltage-dependent, beta 4 subunit	RBM33	RNA binding motif protein 33
CAMTA1	calmodulin binding transcription activator 1	RNF144A	ring finger protein 144A
CSMD1	CUB and Sushi multiple domains 1	SCRN1	secerin 1
CYP20A1	cytochrome P450, family 20, subfamily A, polypeptide 1	SH2D5	SH2 domain containing 5
DDX6	DEAD (Asp-Glu-Ala-Asp) box polypeptide 6	SH3PXD2A	SH3 and PX domains 2A
DNAJB2	DnaJ (Hsp40) homolog, subfamily B, member 2	SLC12A8	solute carrier family 12 (potassium/chloride transporters), member 8
EIF5B	eukaryotic translation initiation factor 5B	SLC39A14	solute carrier family 39 (zinc transporter), member 14
FAM178A	family with sequence similarity 178, member A	SNCA	synuclein, alpha (non A4 component of amyloid precursor)
FGF7	fibroblast growth factor 7 (keratinocyte growth factor)	SYPL2	synaptophysin-like 2
FRMD7	FERM domain containing 7	TNNI1	tropomodulin 1 (skeletal, slow)
GABPB2	GA binding protein transcription factor, beta subunit 2	UBE2R2	ubiquitin-conjugating enzyme E2R 2
GRSF1	G-rich RNA sequence binding factor 1	ZHX4	zinc finger homeobox 4
HGF	hepatocyte growth factor (hepatopoietin A; scatter factor)	ZKSCAN1	zinc finger with KRAB and SCAN domains 1
HTRA2	HtrA serine peptidase 2	ZNF608	zinc finger protein 608
KIAA1244	KIAA1244	ACIN1	apoptotic chromatin condensation inducer 1
KIF24	kinesin family member 24	ADCY6	adenylate cyclase 6

Targetscan Tools با استفاده از پایگاه داده svRNA-N

۱- فهرست زن‌های هدف پیش‌بینی شده برای هدف اول کامل ژن

نام کامل ژن	نام کامل ژن	نام کامل ژن	نام کامل ژن
MAP1B	microtubule-associated protein 1B	ADRB2	adrenergic, beta-2-, receptor, surface
MECP2	methyl CpG binding protein 2 (Rett syndrome)	BBS12	Bardet-Biedl syndrome 12
MEN1	multiple endocrine neoplasia I	BCL11A	B-cell CLL/lymphoma 11A (zinc finger protein)
MIER3	mesoderm induction early response 1, family member 3	BMP8A	bone morphogenetic protein 8a
C14orf101	chromosome 14 open reading frame 101	TNRC6A	trinucleotide repeat containing 6A
CD44	CD44 molecule (Indian blood group)	TUB	tubby homolog (mouse)
COQ9	coenzyme Q9 homolog (S. cerevisiae)	WNK3	WNK lysine deficient protein kinase 3
CUL3	cullin 3	YES1	v-yes-1 Yamaguchi sarcoma viral oncogene homolog 1
ETV5	ets variant gene 5 (ets-related molecule)	ZEB2	zinc finger E-box binding homeobox 2
FXR1	fragile X mental retardation, autosomal homolog 1	ZNF280C	zinc finger protein 280C
GABRE	gamma-aminobutyric acid (GABA) A receptor, epsilon	ZNF346	zinc finger protein 346
GALNT2	UDP-N-acetyl-alpha-D-galactosamine:polypeptide N-acetylgalactosaminyltransferase 2 (GalNAc-T2)	C11orf57	chromosome 11 open reading frame 57
GATAD2B	GATA zinc finger domain containing 2B	C12orf12	chromosome 12 open reading frame 12
GNL3L	guanine nucleotide binding protein-like 3 (nuclear)-like	C1orf144	chromosome 1 open reading frame 144
IGSF22	immunoglobulin superfamily, member 22	C2orf67	chromosome 2 open reading frame 67
KIF3B	kinesin family member 3B	C6orf106	chromosome 6 open reading frame 106
LASS6	LAG1 homolog, ceramide synthase 6	CALM1	calmodulin 1 (phosphorylase kinase, delta)
LOC38785	similar to expressed sequence A1836003	CAP2	CAP, adenylate cyclase-associated protein, 2 (yeast)
6		CCDC4	chromosome 6 open reading frame 4
LPHN1	latrophilin 1	DGKI	coiled-coil domain containing 4
N4BP3	Nedd4 binding protein 3	DOCK4	dedicator of cytokinesis 4
NAV1	neuron navigator 1	FAM166B	diacylglycerol kinase, iota
PDYN	Prodynorphin	FAM70A	family with sequence similarity 166, member B
SLC30A7	solute carrier family 30 (zinc transporter), member 7	SOCS6	family with sequence similarity 70, member A
		GATA2A	GATA zinc finger domain containing 2A

ادامه جدول ۱- فهرست ژن های هدف پیش‌بینی شده برای SVR-N با استفاده از پایگاه دادهی Targetscan

SPIN1	spindlin 1	GPRC5B	G protein-coupled receptor, family C, group 5, member B	
ST7L	suppression of tumorigenicity 7 like	HLF	hepatocyte leukemia factor	
TEAD1	TEA domain family member 1 (SV40 transcriptional enhancer factor)	KAT2B	K(lysine) acetyltransferase 2B	
TM9SF4	transmembrane 9 superfamily protein member 4	KCNCI	potassium voltage-gated channel, Shaw-related subfamily, member 1	
KDELR2	KDEL (Lys-Asp-Glu-Leu) endoplasmic reticulum protein retention receptor 2	PTPRD	protein tyrosine phosphatase, receptor type, D	
KIAA1688	KIAA1688 protein	RAP2B	RAP2B, member of RAS oncogene family	
KLHL28	kelch-like 28 (Drosophila)	SEC14L5	SEC14-like 5 (S. cerevisiae)	
LOC12988	hypothetical LOC129881	SENP1	SUMO1/securin specific peptidase 1	
MAF	v-maf musculoaponeurotic fibrosarcoma oncogene homolog (avian)	SORCS1	sortilin-related VPS10 domain containing receptor 1	
MAP4K5	mitogen-activated protein kinase kinase kinase kinase 5	TET1	tet oncogene 1	
NCOA1	nuclear receptor coactivator 1	TFAP2A	transcription factor AP-2 alpha (activating enhancer binding protein 2 alpha)	
NDNL2	necdin-like 2	TP53INP2	tumor protein p53 inducible nuclear protein 2	
NPEPPS	aminopeptidase puromycin sensitive	ZBTB1	zinc finger and BTB domain containing 1	
NUAK1	NUAK family, SNFL1-like kinase, 1	ZFP90	zinc finger protein 90 homolog (mouse)	
PACSIN1	protein kinase C and casein kinase substrate in neurons 1	tcat7.1228	hypothetical protein FLJ25778	
PIK3RI	phosphoinositide-3-kinase, regulatory subunit 1 (alpha)	PPM1H	protein phosphatase 1H (PP2C domain containing)	

Accession number	svRNA-N	توالی svRNA-nsp3.1	توالی svRNAnsp3.2
*	NC_004718.3	GAGGAAGAAGAGGACGAT	GAGGAAGAAGAAGAGGAAGACT
1	MT671827.1	GAAGAACGGCCAGAACGCTGG	GAGGATGAAGAACAGGTGATT
2	MT666099.1	GAAGAACGGCCAGAACGCTGG	GAGGATGAAGAACAGGTGATT
3	MT665028.1	GAAGAACGGCCAGAACGCTGG	GAGGATGAAGAACAGGTGATT
4	MT661524.1	GAAGAACGGCCAGAACGCTGG	GAGGATGAAGAACAGGTGATT
5	MT655135.1	GAAGAACGGCCAGAACGCTGG	GAGGATGAAGAACAGGTGATT
6	MT653108.1	GAAGAACGGCCAGAACGCTGG	GAGGATGAAGAACAGGTGATT
7	MT646036.1	GAAGAACGGCCAGAACGCTGG	GAGGATGAAGAACAGGTGATT
8	MT644268.1	GAAGAACGGCCAGAACGCTGG	GAGGATGAAGAACAGGTGATT
9	MT641775.1	GAAGAACGGCCAGAACGCTGG	GAGGATGAAGAACAGGTGATT
10	MT641761.1	GAAGAACGGCCAGAACGCTGG	GAGGATGAAGAACAGGTGATT
11	MT635445.1	GAAGAACGGCCAGAACGCTGG	GAGGATGAAGAACAGGTGATT
12	MT630427.1	GAAGAACGGCCAGAACGCTGG	GAGGATGAAGAACAGGTGATT
13	LC553270.1	GAAGAACGGCCAGAACGCTGG	GAGGATGAAGAACAGGTGATT
14	LC553270.1	GAAGAACGGCCAGAACGCTGG	GAGGATGAAGAACAGGTGATT
15	MT612303.1	GAAGAACGGCCAGAACGCTGG	GAGGATGAAGAACAGGTGATT
16	MT510700.1	GAAGAACGGCCAGAACGCTGG	GAGGATGAAGAACAGGTGATT
17	MT607604.1	GAAGAACGGCCAGAACGCTGG	GAGGATGAAGAACAGGTGATT
18	MT605818.1	GAAGAACGGCCAGAACGCTGG	GAGGATGAAGAACAGGTGATT
19	MT479225.1	GAAGAACGGCCAGAACGCTGG	GAGGATGAAGAACAGGTGATT
20	MT582497.1	GAAGAACGGCCAGAACGCTGG	GAGGATGAAGAACAGGTGATT
21	MT499218.1	GAAGAACGGCCAGAACGCTGG	GAGGATGAAGAACAGGTGATT
22	MT576584.1	GAAGAACGGCCAGAACGCTGG	GAGGATGAAGAACAGGTGATT
23	MT576645.1	GAAGAACGGCCAGAACGCTGG	GAGGATGAAGAACAGGTGATT
24	MT569474.1	GAAGAACGGCCAGAACGCTGG	GAGGATGAAGAACAGGTGATT
25	MT568643.1	GAAGAACGGCCAGAACGCTGG	GAGGATGAAGAACAGGTGATT
26	MT558703.1	GAAGAACGGCCAGAACGCTGG	GAGGATGAAGAACAGGTGATT
27	MT510744.1	GAAGAACGGCCAGAACGCTGG	GAGGATGAAGAACAGGTGATT
28	MT407659.1	GAAGAACGGCCAGAACGCTGG	GAGGATGAAGAACAGGTGATT
29	MT536184.1	GAAGAACGGCCAGAACGCTGG	GAGGATGAAGAACAGGTGATT
30	MT534285.1	GAAGAACGGCCAGAACGCTGG	GAGGATGAAGAACAGGTGATT

شکل ۱ - توالی svRNA های شناخته شده در ویروس SARS-CoV علیه ۳۰ ویروس

ردیفی که با ستاره نشان داده است توالی های مربوط به ویروس SARS-CoV پس زمینه‌ی زرد نوکلئوتیدهای حفاظت شده را نشان می‌دهد. نوکلئوتیدهای حفاظت شده در توالی های svRNA با رنگ قرمز مشخص شده‌اند.

شد (ماژول ۱ تا ۳ در شکل ۴). ماژول اول شامل ۴ ژن، ماژول دوم شامل ۳ ژن و ماژول سوم شامل ۱۱ ژن بود. همانطور که در شکل ۳ قسمت ج مشاهده می‌شود بررسی مسیر KEGG با استفاده از Enrichr این سه ماژول این سه ماژول (ACVR2A و ACVR2B و BMP8A) تمرکز در مسیر TGF-β (P-value=۰/۰۰۰۶). بررسی مسیر KEGG بر روی ۱۰ ژن مرکزی شبکه PPI نیز نشان داد ژن های این شبکه بیشتر در مسیرهای پروتئولیکان در سرطان (P-value=۰/۰۰۱۱)، مسیر پیامرسانی Rap1 (P-value=۰/۰۰۰۱۲) و عفونت ویروس نوع یک لوسمی سلول های T انسانی^۱ (P-value=۰/۰۰۰۱۴) تمرکز می‌یابند (شکل ۳ قسمت ب).

ژن های هدف svRNA-N بیشتر در مسیر پیامرسانی Rap1 نقش آفرینی می‌کنند بررسی زیست‌شناسی سیستمی ژن های هدف با استفاده از ابزار آنلاین Enrichr در میان مسیرهای KEGG نشان داد که ژن های هدف (ADCY6 و CALM1 و PIK3R1 و HGF و FGF7) بیشتر در مسیر پیامرسانی Rap1 نقش آفرینی می‌کنند (P-value=۰/۰۰۲) (شکل ۳-الف). پس از آن ژن های ADCY6 و PIK3R1 و ADRB2 و LIPOLYZ در آدیپوسیت‌ها (P-value=۰/۰۰۵) هستند. همچنین در میان مسیرهای مختلف مسیر پیامرسانی TGF-β نیز مشاهده می‌شود (P-value=۰/۰۲). سه ماژول پروتئینی اول در شبکه PPI بیشتر در مسیر TGF-β نقش آفرینی می‌کنند. پس از ترسیم شبکه PPI (شکل ۴) با استفاده از افزونه MCODE سه ماژول پروتئینی در این شبکه شناسایی

^۱ Human T-cell leukemia virus type I

Accession number	svRNA-N	توالی	svRNA-nsp3.1	توالی	svRNAAnsp3.2	توالی
*	NC_004718.3	AGGAACCTGGCCCGAAGGCTTC	GAGGAAGAAGAGGACGAT	GAACAAAGAAGATGCTTGG	GAACAAAGAAGATGCTTCTG	
1	MG596803.1	TGGAACCTGGACCAGAAGCTAA	GAACAAGAAGATGCTTGG	GTGCAAGAAGAAGCACAACCAAG	GTGCAAGAAGAAGCACAACCAAG	
2	MF598712.1	TGGAACCTGGACCCGAAGCAGC	TTAGAAGAAGGTGAATCA	TCTAAAGAAGATCTACATACAT		
3	KJ361500.1	TGGAACCTGGACCCGAAGCAGC	CCTAAAGAAGACGGCGAT	GTGCAAGAAGAAGCACAACCAAG		
4	KX108939.1	TGGAACCTGGACCCGAAGCAGC	GTGCAAGAAGAAGCACAA	GATAAAGAAGAACTAATATTT		
5	MG021451.1	TGGAACAGGACCGAAGCTAA	GATAAAGAAGAAACTAAT	GTGCAAGAAGAAGCACAACCAAG		
6	MN481983.1	TGGAACCTGGACCCGAAGCAGC	GTGCAAGAAGAAGCACAACCAAG	GTGCAAGAAGAAGCACAACCAAG		
7	MN723544.1	TGGAACCTGGACCCGAAGCAGC	GTGCAAGAAGAAGCACAACCAAG	GTGCAAGAAGAAGCACAACCAAG		
8	MK280984.2	TGGAACCTGGACCCGAAGCAGC	GTGCAAGAAGAAGCACAACCAAG	GTGCAAGAAGAAGCACAACCAAG		
9	MK483839.1	TGGAACCTGGACCCGAAGCAGC	GTGCAAGAAGAAGCACAACCAAG	GTGCAAGAAGAAGCACAACCAAG		
10	MK129253.1	TGGAACCTGGACCCGAAGCAGC	GTGCAAGAAGAAGCACAACCAAG	GTGCAAGAAGAAGCACAACCAAG		
11	MT675270.1	TGGAACCTGGACCCGAAGCAGC	GTGCAAGAAGAAGCACAACCAAG	GAACAAAGAAGATGCTTGGCTG		
12	MG596802.1	TGGAACCTGGACCCGAAGCAGC	GTGCAAGAAGAAGCACAACCAAG	GTGCAAGAAGAAGCACAACCAAG		
13	MN481981.1	TGGAACCTGGACCCGAAGCAGC	GTGCAAGAAGAAGCACAACCAAG	GTGCAAGAAGAAGCACAACCAAG		
14	MN723542.1	TGGAACCTGGACCCGAAGCAGC	GTGCAAGAAGAAGCACAACCAAG	GTGCAAGAAGAAGCACAACCAAG		
15	MN365232.1	TGGAACCTGGACCCGAAGCAGC	GTGCAAGAAGAAGCACAACCAAG	GTGCAAGAAGAAGCACAACCAAG		
16	MK462255.1	TGGAACCTGGACCCGAAGCAGC	GTGCAAGAAGAAGCACAACCAAG	GTGCAAGAAGAAGCACAACCAAG		
17	MH310910.1	TGGAACCTGGACCCGAAGCAGC	GTGCAAGAAGAAGCACAACCAAG	GTGCAAGAAGAAGCACAACCAAG		
18	MT675268.1	TGGAACCTGGACCCGAAGCAGC	GTGCAAGAAGAAGCACAACCAAG	GTGCAAGAAGAAGCACAACCAAG		
19	MT576585.1	TGGAACCTGGACCCGAAGCAGC	GTGCAAGAAGAAGCACAACCAAG	GTGCAAGAAGAAGCACAACCAAG		
20	KY688123.1	TGGAACCTGGACCCGAAGCAGC	GTGCAAGAAGAAGCACAACCAAG	GTGCAAGAAGAAGCACAACCAAG		
21	KY581690.1	TGGAACCTGGACCCGAAGCAGC	GTGCAAGAAGAAGCACAACCAAG	GTGCAAGAAGAAGCACAACCAAG		
22	MG011341.1	TGGAACCTGGACCCGAAGCAGC	GTGCAAGAAGAAGCACAACCAAG	GTGCAAGAAGAAGCACAACCAAG		
23	KX146881.1	TGGAACCTGGACCCGAAGCAGC	GTGCAAGAAGAAGCACAACCAAG	GTGCAAGAAGAAGCACAACCAAG		
24	KX108937.1	TGGAACCTGGACCCGAAGCAGC	GTGCAAGAAGAAGCACAACCAAG	GTGCAAGAAGAAGCACAACCAAG		
25	KX034097.1	TGGAACCTGGACCCGAAGCAGC	GTGCAAGAAGAAGCACAACCAAG	GTGCAAGAAGAAGCACAACCAAG		
26	MF598703.1	TGGAACCTGGACCCGAAGCAGC	GTGCAAGAAGAAGCACAACCAAG	GTGCAAGAAGAAGCACAACCAAG		
27	MG011360.1	TGGAACCTGGACCCGAAGCAGC	GTGCAAGAAGAAGCACAACCAAG	GTGCAAGAAGAAGCACAACCAAG		
28	KX108941.1	TGGAACCTGGACCCGAAGCAGC	GTGCAAGAAGAAGCACAACCAAG	GTGCAAGAAGAAGCACAACCAAG		
29	KX034098.1	TGGAACCTGGACCCGAAGCAGC	GTGCAAGAAGAAGCACAACCAAG	GTGCAAGAAGAAGCACAACCAAG		
30	MT576585.1	TGGAACCTGGACCCGAAGCAGC	GTGCAAGAAGAAGCACAACCAAG	GTGCAAGAAGAAGCACAACCAAG		

شکل ۲ - توالی svRNAهای شناخته شده در ویروس SARS-CoV و نتایج BLASTN علیه ۳۰ ویروس MERS-CoV. ردیفی که با ستاره نشان داده است توالی‌های مربوط به ویروس SARS-CoV می‌باشد. پس زمینه‌ی زرد نوکلئوتیدهای حفاظت‌نشده را نشان می‌دهد. نوکلئوتیدهای حفاظت‌نشده در توالی‌های svRNA با رنگ قرمز مشخص شده‌اند.

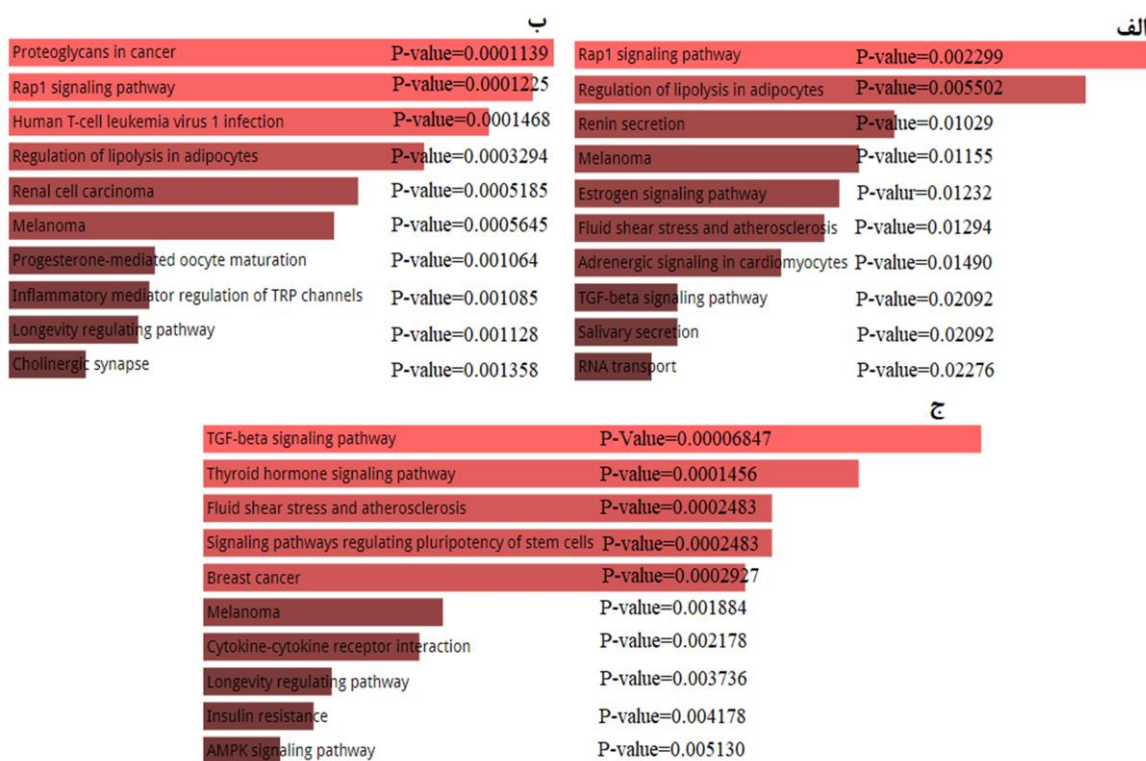
فضای آلولار و کاهش خونریزی ریه می‌شود [۶].
بنابراین مطالعه‌ی ما بررسی تجربی بر روی نقش svRNA-N در SARS-CoV-2 و امکان استفاده از LNA علیه آن را در کنترل بیماری COVID-19 پیشنهاد می‌دهد.

همچنین مطالعه‌ی ما نشان داد که ۱۳۰ ژن مختلف می‌توانند هدف svRNA-N قرار گیرند که مسیر پیامرسانی Rap1 از نظر تمرکز ژن‌های هدف بالاترین امتیاز را در مسیرهای KEGG دارد. همچنین ۱۰ ژن مرکزی شبکه‌ی PPI نیز بیشتر در مسیر Rap1 تمرکز می‌یابند. این یافته از این نظر جالب است که پیشتر نشان داده شده است که اختلال در مسیر پیامرسانی Rap1 مکرووفاژهای M2 باعث افزایش بیان سیتوکین‌های التهابی IL-1 β و IL-6 می‌شود [۱۵]. این دو از جمله سیتوکین‌های غالب در بیماری کووید-۱۹ هستند [۱۶]

بحث و نتیجه‌گیری:

مطالعه‌ی حاضر برای اولین بار به بررسی نقش svRNAها در بیماری‌زایی ویروس SARS-CoV-2 پرداخته است. نتایج این مطالعه نشان داد که توالی svRNA-N که پیش از این در ویروس SARS-CoV شناخته شده بود با محافظت‌شدگی بالایی در هر دو ویروس SARS-CoV-2 و MERS-CoV وجود دارد که نقشی مشابه با آنچه که در ویروس SARS-CoV گزارش شده را پیشنهاد می‌دهد. این محافظت‌شدگی از این نظر حائز اهمیت است که مورالس و همکارانش svRNA-N¹ از طریق بینی، پیش از آلوده شدن مدل موشی به SARS-CoV-MA15-WT، گرچه تاثیری بر تکثیر ویروس ندارد، باعث کاهش چشمگیر التهاب، باز ماندن

¹ Locked nucleic acids



شکل ۳ - نتایج بررسی تمرکز ژن‌های هدف svRNA-N با استفاده از پایگاه Enrichr

(الف) بررسی تمرکز ژن‌های هدف svRNA-N در مسیرهای KEGG

(ب) بررسی تمرکز ژن‌های مرکزی در شبکه پروتئین-پروتئین svRNA-N در مسیرهای KEGG

(ج) بررسی تمرکز ژن‌های مربوط به مازولهای پروتئینی شناخته شده در شبکه پروتئین-پروتئین svRNA-N هدف svRNA-N در مسیرهای KEGG. رنگ قرمز روشن تر نشان‌دهنده معنادارتر بودن داده است.

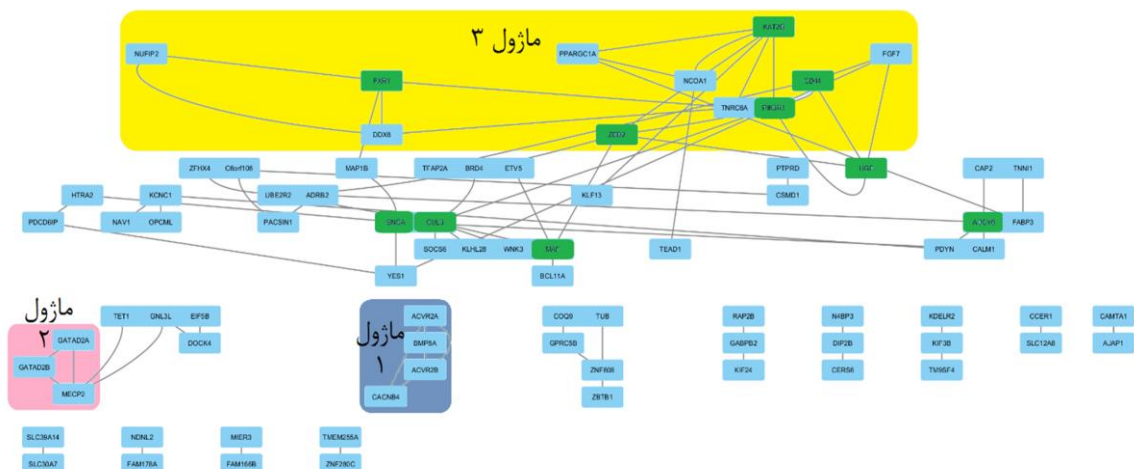
[۱۹]. از طرف دیگر ژن *FGF7* که کدکنندهٔ فاکتور رشد فیبروبلاستی^۳ می‌باشد و در مسیر پیامرسانی svRNA-N هدف Rap1^۴ قرار می‌گیرد نیز می‌تواند با تاثیرگذاری بر اینفیلتراسیون لغوشیت‌های T در بافت هدف سیستم ایمنی را تحت تاثیر قرار دهد [۲۰]. همچنین نتایج ما نشان دهنده وجود ۳ مازول پروتئینی در شبکهٔ PPI ژن‌های هدف svRNA-N بود. بررسی KEGG تمرکز ژن‌های این سه مازول در مسیرهای svRNA-N داد که svRNA احتمالاً با هدف قرار دادن ژن‌های *ACVR2A*, *ACVR2B*, *BMP8A* و *TGF-β* تاثیر می‌گذارد. جالب توجه است که به تازگی مشخص شده است که ژن *BMP8A* نقش مهمی در ایمنی ضد ویروسی از طریق القای تولید اینترفرون نوع یک در

که توسط ماکروفازهای M2 آلوئولار^۱ و فضای بینابینی ترشح می‌شوند [۱۷]. همچنین جالب توجه است که در میان ژن‌هایی که در مسیر پیامرسانی Rap1 هدف svRNA-N قرار می‌گیرند، ژن *PIK3R1* وجود دارد که نقص در عملکرد آن منجر به بیماری نقص ایمنی در انسان از طریق فعال شدن بیش از حد مسیر پیامرسانی PI3K دلتا^۲ در سلولهای ایمنی می‌شود [۱۸]. علاوه بر این، ژن *HGF* که فاکتور رشد هپاتوسیتی را کد می‌کند نیز هدف svRNA-N قرار می‌گیرد. یافته‌های پیشین نشان می‌دهند که فاکتور رشد هپاتوسیتی با اتصال به گیرندهٔ خود به نام Met^۳ از جمله در ریه می‌تواند به عنوان تنظیم‌گر سیستم ایمنی از طریق سرکوب سلولهای دندریتیک عمل کند و التهاب را کاهش دهد

³ Fibroblast growth Factor 7

¹ Alveolar macrophages

² PI3Kδ



شکل ۴ - ترسیم شبکه‌ی پروتئین-پروتئین ژن‌های هدف Cytoscape با نرم‌افزار svRNA. داده‌های مربوط به برهمکنش پروتئین‌های مربوط به ۱۳۰ ژن هدف svRNA-N با استفاده از پایگاه STRING استخراج و با نرم‌افزار Cytoscape ترسیم شد. ژن‌های مرکزی در این شبکه با افزونه cytohubba مشخص گردیدند که با رنگ سبز نشان داده شده‌اند. همچنین سه مازول پروتئینی در شبکه با استفاده از افزونه MCODE به دست آمد که با رنگ‌های بنفش، زرد و صورتی مشخص شده است.

سپاسگزاری:

نویسنده‌گان از مدیریت پژوهشی دانشگاه خلیج فارس که امکان اجرای این تحقیق را مهیا کرده است کمال تشکر را دارند.

منابع:

- Yang P, Wang X. COVID-19: a new challenge for human beings. *Cellular & Molecular Immunology*. 2020;17(5):555-557.
- Liu P, Shi L, Zhang W, et al. Prevalence and genetic diversity analysis of human coronaviruses among cross-border children. *Virology Journal*. 2017;14(1):230.
- Koo HJ, Lim S, Choe J, et al. Radiographic and CT features of viral pneumonia. *Radiographics*. 2018;38(3):719-739.
- Liu DX, Liang JQ, Fung TS. Human Coronavirus-229E,-OC43,-NL63, and-HKU1. Reference Module in Life Sciences. 2020. B978-0-12-809633-8.21501-X. doi: 10.1016/B978-0-12-809633-8.21501-X.
- Guarner J. Three emerging coronaviruses in two decades: the story of SARS, MERS, and now COVID-19. Oxford University Press US; American Journal of Clinical Pathology. 2020;153(4):420-421.
- Morales L, Oliveros JC, Fernandez-Delgado R, et al. SARS-CoV-encoded small RNAs contribute to infection-associated lung

پاسخ به عفونت ویروسی ایفا می‌کند [۲۱]. به علاوه ACVR2A احتمالاً در تمایز لنفوسيت‌های T کمک کننده‌ی Th17 نقش دارد [۲۲] که برهم خوردن تنظیم بیان آن توسط svRNA-N می‌تواند توضیحی برای افزایش میزان Th17 در بیماران مبتلا به کووید-۱۹ باشد [۲۳].

به رغم نتایج به دست آمده مطالعه‌ی حاضر محدودیت‌هایی را نیز دارد. اول اینکه تمامی توالی‌های ثبت شده برای ویروس‌های SARS-CoV-2 و MERS-CoV در این مطالعه بررسی نشده است، بنابراین امکان جهش در توالی svRNA-N به خصوص در نوکلئوتیدهای ۲ تا ۸ آن در سایر ویروس‌های ثبت شده محتمل است. دوم اینکه svRNA-N تنها مکانیسم اثر آن یافتن ژن‌های هدف svRNA-N است و بنابراین احتمال دارد ژن‌های هدف دیگری نیز که از طریق مکانیسم‌های دیگر هدف قرار می‌گیرند وجود داشته باشند. به طور کلی با وجود این محدودیت‌ها داده‌های حاصل از مطالعه svRNA-N در روند بیماری‌زاوی SARS-CoV-2 و بررسی امکان استفاده از مولکول آنتی‌سنس علیه آن به عنوان راهکاری در کاهش آسیب‌های ریوی COVID-19 تاکید دارد.

- 19) Okunishi K, Dohi M, Nakagome K, et al. A novel role of hepatocyte growth factor as an immune regulator through suppressing dendritic cell function. *The Journal of Immunology*. 2005;175(7):4745-4753.
- 20) Deng H, Kan A, Lyu N, et al. Dual vascular endothelial growth factor receptor and fibroblast growth factor receptor inhibition elicits antitumor immunity and enhances programmed cell death-1 checkpoint blockade in hepatocellular carcinoma. *Liver Cancer*. 2020;9(3):325-344.
- 21) Zhong S, Li H, Wang Y, et al. Bmp8a Is a novel player in regulation of antiviral immunity. *BioRxiv*. 2020.
- 22) Ihn H-j, Kim DH, Oh S-S, et al. Identification of Acvr2a as a Th17 cell-specific gene induced during Th17 differentiation. *Bioscience, Biotechnology, and Biochemistry*. 2011;75(11):2138-2141.
- 23) Muyayalo KP, Huang DH, Zhao SJ, et al. COVID-19 and Treg/Th17 imbalance: potential relationship to pregnancy outcomes. *American Journal of Reproductive Immunology*. 2020;e13304.
- pathology. *Cell Host & Microbe*. 2017;21(3):344-355.
- 7) Tycowski KT, Guo YE, Lee N, et al. Viral noncoding RNAs: more surprises. *Genes & Development*. 2015;29(6):567-584.
- 8) Weng K-F, Hung C-T, Hsieh P-T, et al. A cytoplasmic RNA virus generates functional viral small RNAs and regulates viral IRES activity in mammalian cells. *Nucleic Acids Research*. 2014;42(20):12789-12805.
- 9) Bidet K, Dadlani D, Garcia-Blanco MA. G3BP1, G3BP2 and CAPRIN1 are required for translation of interferon stimulated mRNAs and are targeted by a dengue virus non-coding RNA. *PLoS Pathogens*. 2014;10(7):e1004242.
- 10) Roby JA, Pijlman GP, Wilusz J, Khromykh AA. Noncoding subgenomic flavivirus RNA: multiple functions in West Nile virus pathogenesis and modulation of host responses. *Viruses*. 2014;6(2):404-427.
- 11) Agarwal V, Bell GW, Nam J-W, Bartel DP. Predicting effective microRNA target sites in mammalian mRNAs. *eLife*. 2015;4:e05005.
- 12) Chen EY, Tan CM, Kou Y, et al. Enrichr: interactive and collaborative HTML5 gene list enrichment analysis tool. *BMC Bioinformatics*. 2013;14(1):128.
- 13) Su G, Morris JH, Demchak B, Bader GD. Biological network exploration with Cytoscape 3. *Current Protocols in Bioinformatics*. 2014;47(1):8.13.1-8.13.24.
- 14) Chin C-H, Chen S-H, Wu H-H, et al. CytoHubba: identifying hub objects and sub-networks from complex interactome. *BMC Systems Biology*. 2014;8(S4):S11.
- 15) Cai Y, Sukhova GK, Wong HK, et al. Rap1 induces cytokine production in pro-inflammatory macrophages through NF κ B signaling and is highly expressed in human atherosclerotic lesions. *Cell Cycle*. 2015;14(22):3580-3592.
- 16) Cauchois R, Koubi M, Delarbtre D, et al. Early IL-1 receptor blockade in severe inflammatory respiratory failure complicating COVID-19. *Proceedings of the National Academy of Sciences*. 2020;117(32):18951-18953.
- 17) Abassi Z, Knaney Y, Karram T, Heyman SN. The lung macrophage in SARS-CoV-2 infection: a friend or a foe? *Frontiers in Immunology*. 2020;11:1312.
- 18) Deau M-C, Heurtier L, Frange P, et al. A human immunodeficiency caused by mutations in the PIK3R1 gene. *The Journal of Clinical Investigation*. 2014;124(9):3923-3928.

Bioinformatics Analysis of the Possible Role of Small Viral RNAs in SARS-CoV-2 Pathogenesis

Ensie Khademhosseini¹, Amirhossein Ahmadi^{1*}, Seyed Javad Hosseini¹

1) Department of Biological Science and Technology, Faculty of Science, Persian Gulf University, Bushehr, Iran

Abstract:

Since the emergence of SARS-CoV-2 virus in November 2019, COVID-19 has become the biggest challenge in the world, especially when there is still no effective vaccine available. Understanding the mechanisms of SARS-CoV-2 pathogenesis will guide to find suitable treatments for this disease. Recently, the role of small viral RNAs (svRNAs) in the SARS-CoV pathogenesis has been considered. Regarding to high similarity between SARS-CoV and SARS-CoV-2 genome, this *in silico* study was aimed to find existence of svRNAs in the SARS-CoV-2 genome and indicate their target genes in the human cells.

The BLASTN method was run to find if the three svRNAs of SARS-CoV have similar sequences to those in the SARS-CoV-2 and MERS-CoV genome. The online software of TargetScanHuman custom version 5.2 was used to predict target genes of svRNAs. The Enrichr website were used for KEGG pathway enrichment analysis. The protein-protein interactions of target genes was depicted by Cytoscape. The MCODE and Cytohubba plugins were used to define protein modules and hub genes respectively.

Among the three svRNAs of SARS-CoV, the svRNA-N sequence is highly conserved in both SARS-CoV-2 and MERS-CoV genome. In addition, the 130 predicted target genes of svRNA-N are mostly engaged in Rap1 signaling pathway. Furthermore, protein modules were enriched in TGF- β signaling pathway.

The results of this study suggest further investigation about the role of svRNA-N in the SARS-CoV-2 pathogenesis and the possibility of using its antisense molecules as the strategy to decrease the pulmonary damages.

Keywords: COVID-19, svRNAs, SARS-CoV-2, Rap1 signaling pathway.

* Corresponding Author:

Amirhossein Ahmadi, Department of Biological Science and Technology, Faculty of Science, Persian Gulf University, Bushehr, Iran. Email: ahahmadi@pgu.ac.ir